

بررسی اثرات ضد سرطانی نانوذرات نقره با پوشش کورمین بر سلول‌های سرطانی تخمدان A2780

طیبیه رمضانی^{*}، محمد نبیونی^۱، جواد بهارآرا^۲، کاظم پریور^۳، فربد نامور^۴

- ۱- دانشجوی دکتری تخصصی زیست‌شناسی تکوین جانوری، دانشگاه خوارزمی، دانشکده علوم زیستی، گروه زیست‌شناسی، تهران، ایران
- ۲- دانشگاه خوارزمی، دانشکده علوم زیستی، گروه زیست‌شناسی، تهران، ایران
- ۳- دانشگاه آزاد اسلامی واحد مشهد، گروه زیست‌شناسی و مرکز تحقیقات بیولوژی کاربردی تکوین جانوری، مشهد، ایران

* پست الکترونیک نویسنده مسئول: tayeberamezani@gmail.com

تاریخ پذیرش: ۱۳۹۵/۱۲/۱۵

تاریخ دریافت: ۱۳۹۵/۵/۲۶

چکیده

هدف: در مطالعه حاضر اثر نانوذرات نقره پوشش دار شده با کورکومین بر القای مرگ سلولی بر رده سلول‌های سرطان تخمدان A2780 بررسی شده است.

مواد و روش‌ها: در این مطالعه تجربی آزمایشگاهی سنتر سبز نانو ذرات نقره با استفاده از کورکومین انجام شد. سپس سلول‌های رده A2780 با غلظت‌های مختلف نانو ذرات نقره تیمار شدند. اثرات سمی نانو ذرات نقره با روش MTT و اثرات آپوپتوزیس این نانو ذرات با روش‌های رنگ آمیزی DAPI و اکردهن اورنج-پروپودیوم یداید و اندازه گیری فعالیت کاسپاز ۳ و ۹ بررسی شد. تغییرات بیان ژن‌های Bax و Bcl-2 با روش Real Time PCR آنالیز شد.

نتایج: نتایج نشان داد این نانو ذرات باعث مهار تکثیر سلول‌های A2780 به طور وابسته به غلظت شده‌اند، غلظت ۸ میکروگرم بر میلی‌لیتر منجر به مرگ پنجاه درصد سلول‌ها در ۲۴ ساعت شد. نتایج رنگ آمیزی DAPI و اکردهن اورنج-پروپودیوم یداید نشان دهنده افزایش درصد سلول‌های آپوپتوزیس در گروه‌های تیماری بود. مطابق نتایج حاصل از Real Time PCR بیان ژن Bax در سلول تحت تیمار افزایش در حالی که بیان ژن Bcl-2 در این سلول‌ها کاهش نشان داد.

نتیجه گیری: نانوذرات نقره پوشش دار شده با کورکومین باعث القای آپوپتوزیس در سلول‌های سرطانی A2780 می‌شود و استفاده از این نانو ذرات می‌تواند به عنوان استراتژی امیدوارکننده در درمان سرطان تخمدان مورد توجه قرار گیرد.

واژگان کلیدی: نانوذرات نقره، سرطان، آپوپتوزیس، کورکومین

(*longa*) به دست می‌آید. این پودر زرد رنگ سال‌ها در طب سنتی برای درمان آکنه، پسوریازیس، آماس پوست استفاده می‌شود. اثرات ضد التهابی، آنتی اکسیدانتی و ضد میکروبی کورکومین به خوبی شناخته شده است. همچنین این ماده مجموعه‌ای از اهداف مولکولی و مسیرهای سیگنالینگ، مانند: NF-JB، AKT / mTOR و HIF-1A را تحت تاثیر قرار می‌دهد و در نتیجه در مهار تکثیر سلول‌های سرطانی، متاستاز، رگزایی و هم چنین القای آپوپتوزیس نیز نقش ایفا می‌کند (۱۰). بنابراین در این تحقیق جهت افزایش اثر گذاری نانو ذرات نقره، همچنین افزایش دسترسی زیستی کورکومین از این ماده به عنوان کاهنده و پایدارکننده نانو ذرات نقره استفاده شد. سپس اثرات ضد سرطانی آن بر سلول‌های سرطان تخمدان A278 مورد بررسی قرار گرفت.

مواد و روش‌ها

این مطالعه تجربی- آزمایشگاهی در سال ۹۴-۹۵ در مرکز تحقیقات بیولوژی کاربردی- تکوین جانوری وابسته به دانشگاه آزاد اسلامی، واحد مشهد انجام شد.

سنتز زیستی نانو ذرات نقره و شناسایی آن: تولید نانوذرات نقره با روش زیستی: محلول ۰/۵ مولار نیترات نقره (Merck, Germany) در آب با حجم ۱۰۰۰ میلی لیتر تهیه شد و میزان ۱ میلی لیتر کورکومین (Sigma, UK) با غلظت ۱۰ میلی مولاری در DMSO در دمای اتاق و pH=۷/۲ به آن اضافه شد. تغییر رنگ محلول از بی‌رنگ به قهوه‌ای نشان دهنده آغاز تشکیل نانو ذرات در نظر گرفته شد.

طیف سنجی نور مئی- فرابینفس: برای ثبت طیف جذبی نانو ذرات نقره با پوشش کورکومین در ناحیه نور مئی- فرابینفس، ۱۰۰ میکرولیتر از نمونه را در یک پلیت ۹۶ قرار داده شد و جذب نمونه‌ها در دامنه ۴۰۰ تا ۷۰۰ نانومتر با دستگاه اسپکتروفتومتر (Biotech, US) اندازه‌گیری شد. همچنین برای شناسایی شکل و ابعاد نانو ذرات تولید شده از میکروسکوپ الکترونی گذاره (Hitachi, Japan) استفاده شد. این مشاهدات با قرار دادن یک قطره از نمونه بر گردید. مس پوشش داده شده با یک فیلم کربن، انجام گرفت (۱۱). طیف سنجی نور پویا (DLS) (*Dynamic light scattering*): اندازه متوسط نانو ذرات با استفاده از دستگاه DLS

مقدمه

با وجود پیشرفت‌های فراوان در زمینه کنترل و درمان بیماری‌ها، مسئله سرطان هنوز یکی از چالش‌های جهانی در زمینه سلامت انسان‌ها باقی مانده است. معمول‌ترین روش برای درمان سرطان‌ها شیمی درمانی می‌باشد. نکته مهم در درمان سرطان با روش‌های شیمی درمانی، مقاومت اکتسابی تومور به داروهای است و این مسئله مشکلات عمدی‌ای را برای درمان سرطان به وجود آورده است. از آنجا که میزان جهش و ناپایداری ژنتیکی در سلول‌های سرطانی بسیار بالاست و تغییرات ژنی به سرعت در آن‌ها انجام می‌گیرد، این سلول‌ها نسبت به داروها مقاومت پیدا می‌کنند. بنابراین پژوهش بیشتر در زمینه کشف استراتژی‌های درمانی نوین برای غلبه بر مقاومت داروبی سرطان‌ها ضروری به نظر می‌رسد (۱). در این میان نانو تکنولوژی زمینه امیدوار کننده‌ای در حلیطه درمان سرطان به وجود آورده است. در سال‌های اخیر اثرات ضد سرطانی و ضد رگزایی نانو ذرات نقره مورد توجه قرار گرفته است و نتایج نشان داده است که نانو ذرات نقره می‌تواند به عنوان عامل بالقوه ضد سرطانی محسوب گردد (۲ و ۳). اما حلال‌های آلی مورد استفاده برای تولید این نانو ذرات سمی هستند و می‌توانند اثرات زیست محیطی مخربی داشته باشند. از این‌رو تمایل زیادی برای استفاده از روش‌های سالم برای سنتز نانو ذرات نقره وجود دارد (۴). اخیراً مطالعات تحت عنوان شیمی سبز آغاز شده است که به جستجوی روش سازگار با محیط زیست برای سنتز نانو ذرات می‌پردازد. در سال‌های اخیر، نانو ذرات نقره به روش خارج سلولی و با استفاده از عصاره‌های مختلف گیاهی و میکروبی سنتز گردیده است. به عنوان نمونه نانو ذرات نقره با استفاده از عصاره‌های گیاهانی مانند زیتون، بومادران و آلوورا با موفقیت سنتز شده است (۵، ۶ و ۷). به علاوه مطالعات زیادی در زمینه بررسی خواص ضد باکتری، آنتی اکسیدانت و فعالیت‌های ضد تومور این محصولات طبیعی در جریان است. در این راستا Sathish و همکاران اثرات آنتی باکتریایی نانو ذرات نقره، سنتز شده با روش زیستی را بررسی نمودند (۸). همچنین Reddy و همکاران اثرات آنتی اکسیدانتی، آنتی باکتریال و ضد سرطانی نانوذرات نقره تولید شده با استفاده از عصاره گیاه Piper longum را بررسی نمودند (۹). کورکومین یکی از پلی فنل‌های غذایی (*Curcuma*) شناخته شده است که از ریزوم گیاه زرد چوبه

بررسی مورفولوژیک تغییرات سلول‌های تحت تیمار با رنگ آمیزی آکریدین اورنج / پروپوپریدوم یداید: برای این رنگ آمیزی، سلول‌های سلطانی در پلیت‌های ۶ خانه کشت داده شدند و با غلظت ۸ میکروگرم برمیلی‌لیتر نانوذرات نقره تیمار شدند. پس از گذشت ۲۴ ساعت سلول‌ها با تریپسین از چاهک‌ها جدا و سانتریفیوژ شدند سپس با ۱۰ میکروگرم محلول آکریدین اورنج و ۱۰ میکروگرم پروپوپریدوم یداید (Merck, Germany) به سلول‌ها اضافه شد. پس از گذشت ۳ تا ۵ دقیقه ۱۰۰ میکرو لیتر از محلول سلولی بر داشته و بر روی اسلاید قرار داده شد و با میکروسکوپ فلوروسانس (Biomed, Korea) آنالیز شد. در هر بار مشاهده حداقل ۱۰۰ سلول شمارش و درصد سلول‌های آپوپتوتیک با استفاده از فرمول زیر محاسبه شد.

$$\text{درصد سلول‌های آپوپتوزیس} = \frac{\text{تعداد کل سلول‌های آپوپتوزیس}}{\text{تعداد کل سلول‌های آپوپتوزیس}} \times 100$$

بررسی تغییرات مورفولوژی هسته در سلول‌های تیماری با رنگ آمیزی هسته‌ای DAPI: برای بررسی اثرات نانوذرات نقره سنتز شده با کورکومین بر روی هسته سلول‌های سلطان تخدمان A2780 از رنگ آمیزی DAPI (Sigma, UK) استفاده شد. سلول‌ها بعد از کشت بر روی لام‌های کوت شده با کلژن در پلیت ۶ خانه کشت داده شدند و با غلظت ۸ میکروگرم بر میلی‌لیتر نانوذرات نقره به مدت ۲۴ ساعت تیمار شدند. سپس با پارافرم آلدئید ۴ درصد ۱۰ به مدت ۱۵ دقیقه در دمای اتاق فیکس شد و به مدت ۱۰ دقیقه در دمای اتاق تحت اثر رنگ DAPI قرار داده شدند در نهایت پس از شستشو با میکروسکوپ فلورسانس (Biomed, Korea) بررسی شدند.

تعیین مسیر آپوپتوزیس با استفاده از کیت کاسپاز ۳ و ۹: سلول‌های A2780 در ۲ فلاسک کشت سلول متوسط کشت داده شدند. سپس با نانوذرات نقره سنتز شده با کورکومین با غلظت ۸ میکروگرم بر میلی‌لیتر تیمار و به مدت ۲۴ ساعت انکوبه شدند. سپس سلول‌ها تریپسینه و سانتریفیوژ شدند و پس از آن محتوى پروتئین سلول‌ها استخراج شد. غلظت پروتئینی باروش بر دفورد اندازه‌گیری شد. سپس ۵۰ میکروگرم پروتئین از هر نمونه جدا و بر اساس پروتوكل کیت کاسپاز ۳ و ۹ (Abcam, Germany)

(Cordovan, Vaso particle, France) تعیین شد. بر پایه نتایج طیف سنجی نور مولئی- فرابینفشن بهترین نمونه برای آنالیز DLS انتخاب شد. این بررسی در شرایط دمای ۲۵ درجه سانتی‌گراد، با استفاده از زاویه ثابت ۹۰ درجه و در طول موج ۶۵۷ نانومتر انجام شد. طیف مادون قرمز برای نانوذرات نقره با پوشش کورکومین و کورکومین تجاری به تنهایی با استفاده از دستگاه Perkin Elmer, US) به منظور حذف هر گونه باقی مانده کورکومین آزاد بدون اتصال به نانوذرات، نانوذرات نقره ۳ بار با آب مقطر شسته و محصول در ۱۲۰۰ دور بر دقیقه به مدت ۱۵ دقیقه سانتریفیوژ شد و سپس با دستگاه انجام داشک پودر شدند. نانوذرات نقره با پوشش کورکومین با پودر KBr (Merck, Germany) مخلوط و طیف مادون قرمز در محدوده ۴۰۰۰ تا ۴۰۰ نانومتر به دست آمد ثبت شد (۱۱).

بررسی اثرات ضد سرطانی نانوذرات نقره با پوشش کورکومین: رده سلولی سلطان تخدمان A2780 از آنیستیوپاستور تهران تهیه و با محیط کشت RMPI1640 (Sigma, UK) حاوی سرم جنین گاوی ۱۰ درصد (Sigma, UK) و یک واحد پنیسیلین استرپتومایسین (Sigma, UK) در انکوباتور ۳۷ درجه سانتی‌گراد نگهداری شدند.

سنچش سمیت نانوذرات نقره با روش آزمون (3-(4,5-Dimethylthiazol-2-yl)-2,5-Diphenyltetrazolium Bromide MTT): تعداد $10^4 \times 5$ سلول در چاهک پلیت ۹۶ خانه کشت داده شد پس از گذشت ۲۴ ساعت با غلظت‌های ۴۱، ۱۲، ۸ و ۵۰ میکروگرم بر میلی‌لیتر از نانوذرات نقره تیمار شدند. سلول‌های تیمار شده به مدت ۲۴ ساعت در انکوباتور قرار گرفت. پس از این مدت به هر پلیت ۲۰ میکرولیتر رنگ MTT (۵ میلی‌گرم بر میلی‌لیتر) (Merck, Germany) اضافه شد و به مدت ۳ ساعت دیگر DMSO انکوبه شدند. سپس به هر چاهک ۱۰۰ میکرولیتر اضافه شد تا بلورهای فورمازان حاصل حل شد. جذب نوری توسط دستگاه میکرواسپکتروفتومتر (Bioteck, US) در ۵۷۰ نانومتر ثبت شد. تمامی مراحل آزمایش ۳ بار تکرار و درصد سلول‌های زنده از فرمول زیر محاسبه شد.

$\text{درصد زنده های سلول تیمار} = \frac{\text{میانگین جذب نمونه کنترل / میانگین جذب نمونه}}{\text{میانگین جذب نمونه کنترل}} \times 100$

برای تهیه cDNA بر اساس پروتکل شرکت (Thermo, Germany) ۱۰ میکرولیتر از محلول RNA را درجه سانتی گراد به مدت ۵ تا ۱۰ دقیقه انکوبه شد سپس با PCR به آن اضافه شد. محلول حاصله را ۱۰ دقیقه در ۲۵ درجه سانتی گراد قرار داده و سپس به مدت یک ساعت در ۴۲ درجه سانتی گراد انکوبه شد برای توقف واکنش، نمونه در دمای ۷۰ درجه سانتی گراد به مدت ۱۰ دقیقه قرار گرفت. جهت انجام مراحل PCR کیفی از پرایمرهای اختصاصی (جدول ۱) و مستر میکس حاوی رنگ PCR سایبر گرین (Pars tous, Iran) استفاده شد. چرخه Real Time PCR (Bio rad, ۴۰ مرحله و توسط دستگاه Bio rad, US) انجام شد.

فعالیت کاسپاز ۳ و ۹ اندازه گیری شد. تمامی مراحل ازمایش ۳ بار تکرار شد.

بررسی تغییرات بیان ژن‌های Bcl-2 و Bax: سلول‌های A2780 در ۲ فلاسک کشت سلول متوسط کشت داده شدند و با نانو ذره نقره سنتز شده با کورکومین با غلظت ۸ میکروگرم بر میلی لیتر تیمار و به مدت ۲۴ ساعت انکوبه شدند. سپس سلول‌ها تریپسین و سانتریفوژ شدند. برای استخراج RNA با توجه به پروتکل کیت (Roche, Germany) لیز سلول‌ها انجام شد. بعد از لیز شدن کامل سلول‌ها، استخراج به کمک کلروفرم و ایزوپروپانل انجام گرفت تا رسوب RNA به دست آید. در نهایت پس از شستشو با اتانول ۷۵ درصد، RNA حاصل در آب حل شد.

جدول ۱: توالی پرایمرهای مورد استفاده

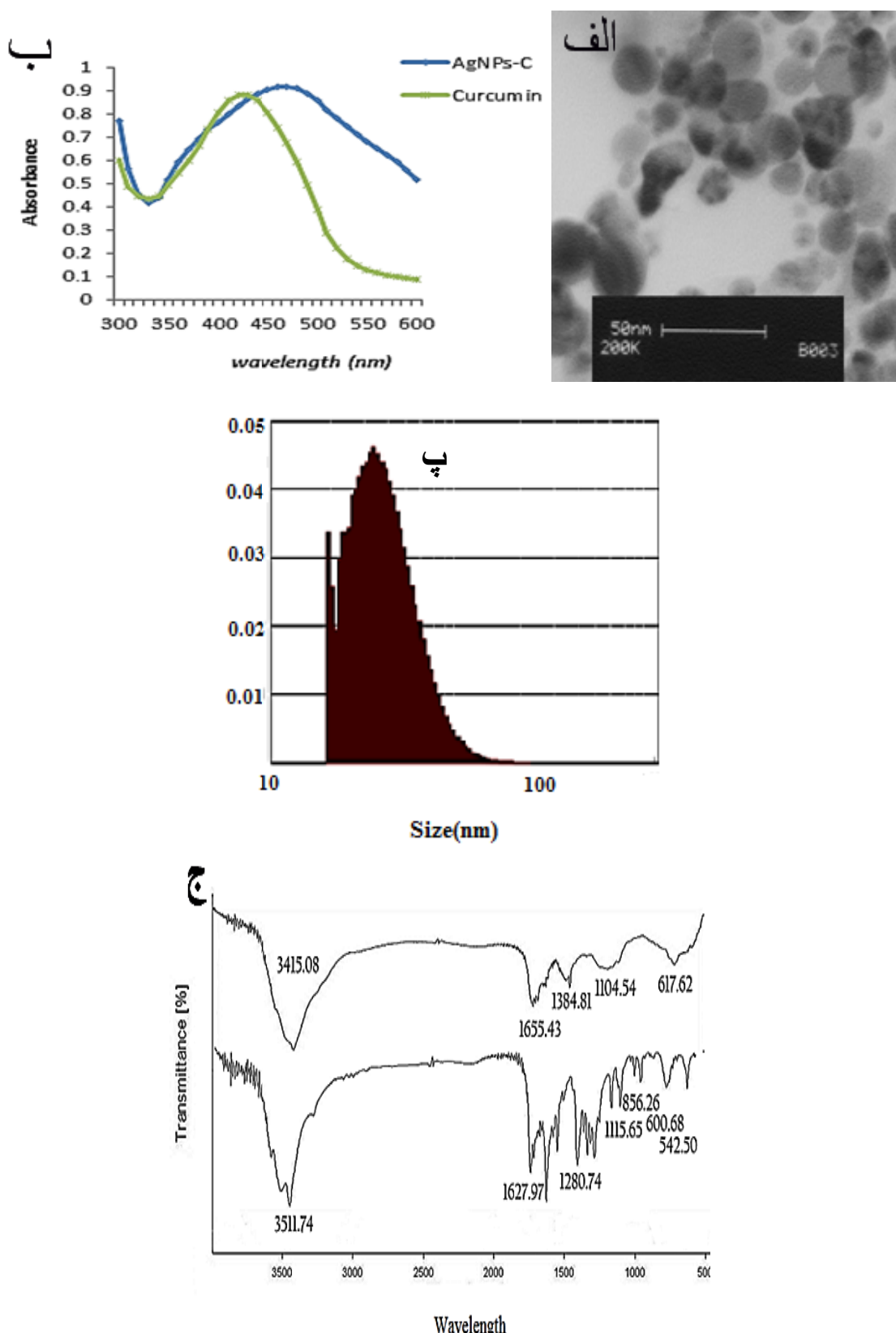
Genes	Sequence
BCL-2F	CATGTGTGAGAGCGTCAAC
BCL-2R	CAGATAGGCACCCAGGGTGAT
BAXF	TTTGCTTCAGGGTTTCATCCA
BAXR	CTCCATGTTACTGTCCAGTCGT
GAPDH F	TGAAGGTCGGTGTGAACGGATTGGC
GAPDH R	CATGTAGGCCATGAGGTCCACCAC

نتایج حاصل از سنجش سمیت نانو ذرات نقره با روش آزمون MTT
نانوذرات نقره تا غلظت ۱ میکروگرم بر میلی لیتر فاقد هر گونه اثر معنی‌داری در زیست پذیری سلول‌ها بودند، در حالی‌که در غلظت‌های ۴ میکروگرم بر میلی لیتر سطح معنی‌داری بین کنترل و نمونه‌های تیمار افزایش می‌یابد و غلظت ۸ میکروگرم بر میلی لیتر ۵۰ درصد سلول‌ها (IC50) دچار مرگ سلولی شده اند و از نظر زیست شناسی می‌توان عنوان کرد که در غلظت‌های زیر ۱ مهار تکثیر سلول‌ها رخ می‌دهد و غلظت‌های بیشتر منجر به مرگ سلول‌ها می‌شود. در حالی‌که در غلظت ۵۰ میکروگرم بر میلی لیتر لیز سلولی در اکثر سلول‌ها نشان می‌دهد (شکل ۲).

آنالیز آماری: جهت مشخص نمودن اختلاف بین گروه‌ها از آزمون واریانس یک طرفه و تست Tukey استفاده شد. نتایج توسط نرم افزار SPSS آنالیز و نمودارها با نرم افزار Excell ترسیم شدند.

نتایج سنتز نانو ذرات نقره با پوشش کورکومین و تعیین مشخصات آن

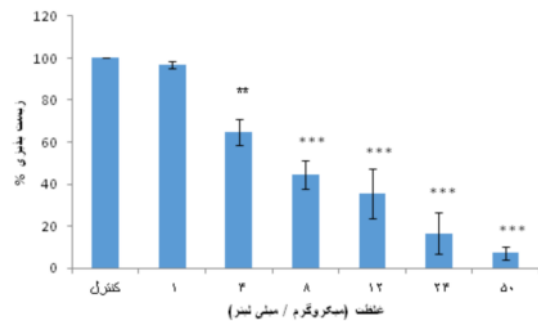
سنتز نانوذرات نقره در حضور کورکومین در زمان ۲۴ ساعت صورت گرفت. اندازه متوسط این نانو ذرات در حدود 40 ± 2 نانومتر جذب نوری در ۴۵۰ نانومتر مشخص شد. مطالعات طیف سنجی نور مادون قرمز نشان داد که نمودارهای حاصل از کورکومین تجاری و نانو ذرات الگوی یکسانی را در پیک‌های جذبی در ناحیه ۴۰۰ تا ۴۰۰۰ دارند. این موضوع نشان می‌دهد که کورکومین سطح نانوذرات نقره را پوشش داده است (شکل ۱، ب و ج).



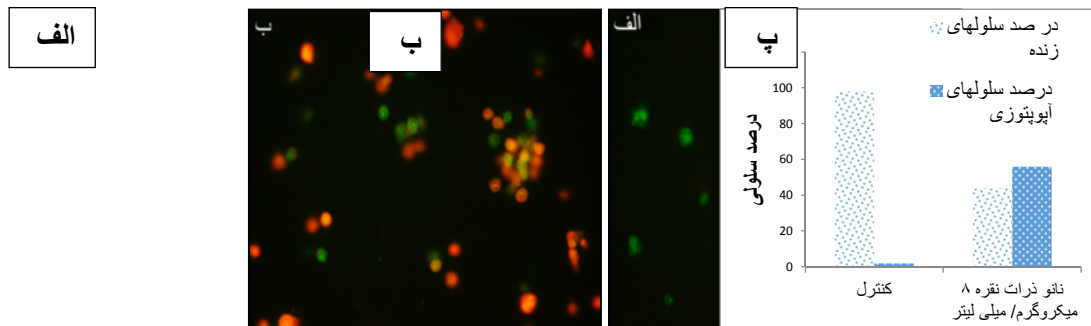
شکل ۱: (الف) میکروسکوپ الکترونی گذاره از نانوذرات نقره سنتز شده به روش سبز، (ب) میزان جذب نوری را برای نمونه‌های نانوذرات سنتز شده با کورکومین که نشان دهنده حداکثر جذب نانوذرات در ۴۵۰ نانومتر می‌باشد، (پ) نمودار توزیع نانوذره از نظر اندازه با توجه به آنالیز سایز نانوذرات نقره با دستگاه DLS، (ج) نتایج حاصل از طیف مادون قرمز از کورکومین (۱) و نانوذرات سنتز شده (۲) این دو طیف بسیار به یکدیگر شباهت دارند که نشان می‌دهد کورکومین بر سطح نانوذرات نقره اتصال یافته‌اند.

بررسی مورفولوژیک تغییرات سلول‌های تیمار شده با نانوذرات نقره با رنگ آمیزی آکریدین اورنج / پروپوپریدیوم یداید

در رنگ آمیزی اکریدین اورنج سلول‌های زنده به رنگ سبز دیده می‌شود. در حالی که سلول‌هایی که در مرحله آپوپتوزیس قرار دارند نارنجی رنگ مشاهده می‌شوند. در گروه‌های تحت تیمار با نانوذرات درصد سلول‌ها با رنگ نارنجی افزایش چشم‌گیری در مقایسه با کنترل داشتند. شمارش سلول‌های زنده در مقابل سلول‌های آپوپتوزیس نشان داد که درصد سلول‌های آپوپتوزیس در گروه تیمار در حدود ۵۶ درصد بود، درحالی‌که این درصد در گروه کنترل کمتر از ۲ درصد کل سلول‌ها بود (شکل ۳).



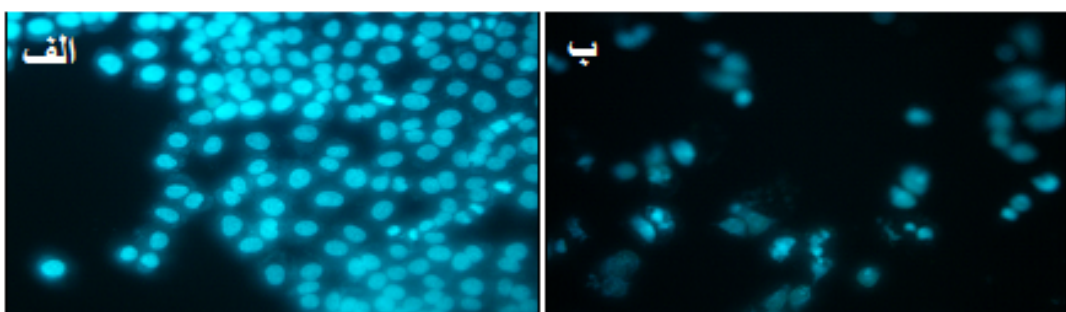
شکل ۲: درصد زیست پذیری سلول‌های A2780 را در حضور غلظت‌های مختلف نانوذرات نقره نشان می‌دهد (Mean±S.D) .
p<0.01, *p<0.001.



شکل ۳: (الف) شکل حاصل از رنگ آمیزی آکریدین اورنج / پروپوپریدیوم یداید. در گروه کنترل بیشتر سلول‌ها سبز رنگ می‌باشند و در خالت نرمال قرار دارند، (ب) در حالی‌که در گروه تیماری بیشتر سلول‌ها به رنگ نارنجی هستند و در مرحله آپوپتوزیس قرار دارند، (پ) شمارش تعداد سلول‌های زنده و آپوپتوزیس در گروه کنترل و تیمار نشان داد که درصد سلول‌های آپوپتوزیس در گروه تیمار نسبت به گروه کنترل افزایش داشته است، (بزرگنمایی $\times 400$).

نانوذرات نقره بودند بعد از ۲۴ ساعت دارای کروماتین فشرده و یا قطعه قطعه می‌باشند. این تغییرات که از خصوصیات سلول‌های آپوپتوزیس می‌باشد نشان دهنده آغاز روند مرگ سلول‌ها در گروه تیماری می‌باشد (شکل ۴).

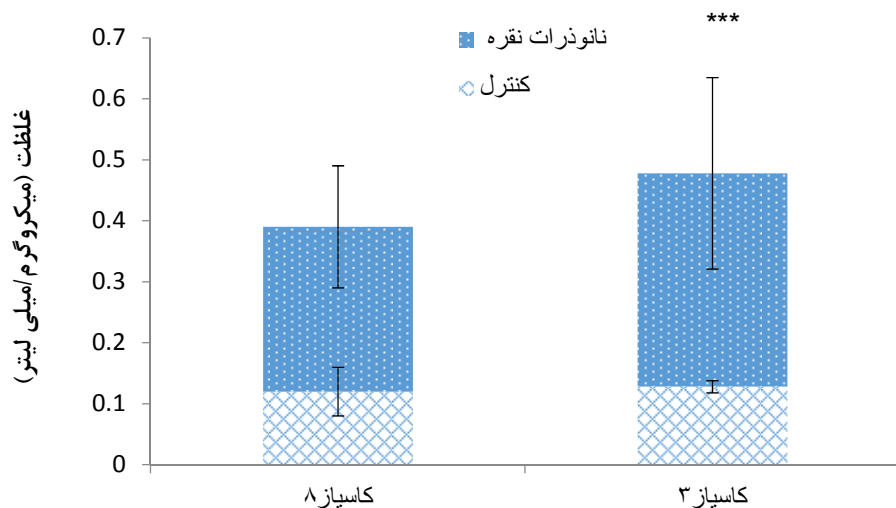
بررسی تغییرات مورفولوژی هسته با رنگ آمیزی DAPI هسته‌ای سلول‌های که تحت تیمار با ۸ میکروگرم بر میلی لیتر



شکل ۴: (الف) شکل حاصل از رنگ آمیزی DAPI، گروه کنترل با هسته، (ب) گروه تیمار با نانوذرات نقره که کروماتین قطعه قطعه شده در آن نمایان می‌باشد. (بزرگنمایی $\times 400$).

میلی لیتر نسبت به گروه تیمار نشده افزایش یافته است. بنا براین می‌توان گفت که نانوذرات نقره منجر به آغاز روند مرگ سلولی در سلول‌های A278 از مسیر وابسته به کاسپاز شده است (شکل ۵).

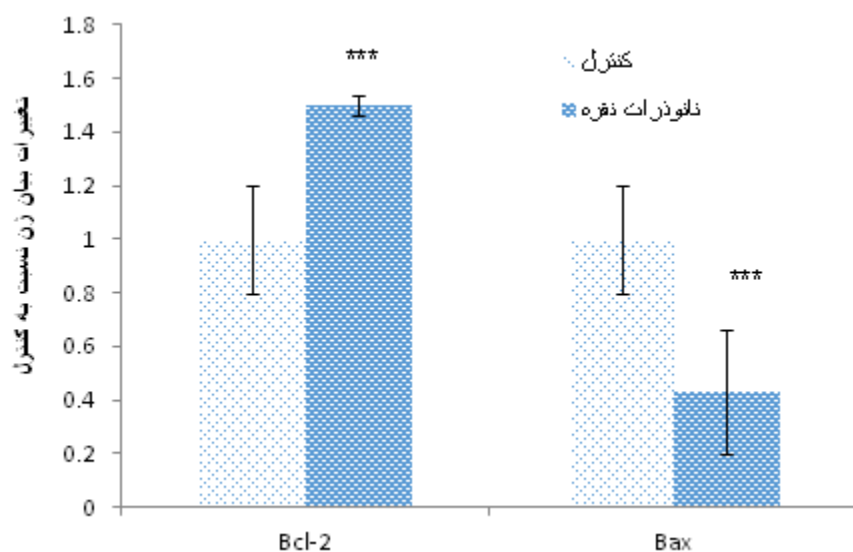
تعیین مسیر آپوپتوزیس با استفاده از کیت کاسپاز ۳ و ۹ خانواده آنزیمی کاسپاز از واسطه‌های اصلی آپوپتوزیس هستند و در طی روند آپوپتوزیس فعالیت آن‌ها افزایش می‌باید. نتایج بررسی فعالیت کاسپاز نشان داد که فعالیت کاسپاز ۳ و ۹ در گروه تیمار شده با ۸ میکرو گرم بر



شکل ۵: مقایسه فعالیت کاسپاز ۳ و ۹ در گروه تیمار با نانوذرات نقره و کنترل. فعالیت این آنزیم در گروه‌های تیماری نسبت به کنترل افزایش معنی‌داری داشته است ($p < 0.001$). Mean \pm S.D.

نسبت به کنترل افزایش یافته است، در حالی که بیان ژن آنتی آپوپوتیک Bcl-2 نسبت به کنترل کاهش یافته است (شکل ۶).

بررسی تغییرات بیان ژن‌های Bax و Bcl-2: در این جهت مطالعه تغییرات بیان ژن‌های آپوپتوزیس در سلول‌های تیمار و کنترل از روش PCR کمی استفاده شد. نتایج نشان داد که بیان ژن پرو آپوپوتیک Bax در گروه تیمار



شکل ۶: تغییرات بیان ژن‌های Bax و Bcl-2 در گروه تیمار با نانوذرات نقره و گروه کنترل. نتایج نشان داد که بیان ژن Bax افزایش و بیان ژن Bcl-2 نسبت به کنترل به صورت معنی‌داری کاهش یافته است ($p < 0.001$). Mean \pm S.D.

بدن و از بین بردن سلول‌های مضر و سرطانی می‌باشد (۱۴). در مرحله بعد توانایی ایجاد آپوپتوzیس در سلول‌های سرطانی رده A2780 توسط غلظت IC₅₀ از نانوذرات نقره بررسی شد. تغییرات ظاهری هسته و ایجاد شکست در کروماتین سلول یکی از نشانه‌های بارز آغاز روند مرگ سلولی است. در این پژوهش تغییرات مورفولوژیک هسته، در سلول‌های تیمار شده با نانو ذرات نقره با پوشش کورکومین با رنگ آمیزی هسته‌ای DAPI بررسی شد. نتایج نشان داد که در سلول‌های تیماری تغییرات هسته‌ای از جمله فشرده شدن کروماتین و قطعه قطعه شدن آن نسبت به گروه کنترل افزایش یافت. همچنین در این مطالعه برای تعیین نوع مرگ سلولی القا شده توسط نانوذرات نقره از روش رنگ‌آمیزی اکریدین اورنج-پروپوپریوم یداید استفاده شد. نتایج نشان داد که در سلول‌ها تیمار شده با نانوذرات نقره تعداد سلول‌های آپوپتوzیس افزایش یافت. از مجموعه بررسی‌های مورفولوژی با رنگ آمیزی DAPI و اکریدین اورنج/پروپوپریوم یداید می‌توان دریافت که نانو ذرات نقره با پوشش کورکومین منجر به فعل شدن روند آپوپتوzیس در سلول‌های A2780 می‌شوند (۱۵). همچنین کاسپازها از واسطه‌های مهم در فرآیند آپوپتوzیس هستند. در طی فرآیند مرگ سلولی برنامه ریزی شده ابتدا در اثر محرك آپوپتوzیس کاسپاز ۳ فعال می‌شود سپس این کاسپاز با شکسته‌های پروتولوپتیک منجر به فعل شدن کاسپاز ۸ و ۹ می‌شود که این کاسپازها مسئول آغاز فعالیت مولکول‌های افکتور دیگر برای پیشرفت روند آپوپتوzیس هستند. در این تحقیق نشان داده شد که تیمار سلول‌های سرطانی A2780 با نانو ذرات نقره پوشش‌دار با کورکومین منجر به افزایش فعالیت کاسپاز ۳ و ۹ می‌شوند. در مطالعات گذشته نیز اثرات آپوپتوzیس نانو ذرات نقره تولید شده با روش زیستی بر رده‌های سلولی مختلف بررسی شده است به عنوان مثال اثرات نانو ذرات نقره سنتز شده با عصاره گیاه Albizia adianthifolia بر سلول‌های سرطانی ریه بررسی شد. نتایج این مطالعات نشان داد که نانوذرات نقره موجب مهار تکثیر و افزایش میزان آپوپتوzیس در سلول‌های سرطانی ریه می‌شود. این نانو ذرات از طریق مسیر درونی (میتوکندری) مرگ برنامه ریزی شده سلولی را آغاز می‌کنند (۱۵). همچنین حکمت و همکاران (۱۶)

بحث

استفاده از ترکیبات طبیعی برای تولید نانو ذرات رویکرد جدیدی است که توجهات زیادی را به خصوص برای تولید نانو ذرات فلزی جلب نموده است تاکنون گزارش‌های زیادی مبنی بر استفاده از عصاره‌های گیاهی، قارچی و باکتریایی برای تولید نانو ذرات فلزی از جمله نانو ذرات نقره منتشر شده است. به عنوان مثال بهارآرا و همکاران (۱۲) از عصاره گیاه مریم گلی برای سنتز نانو ذرات نقره استفاده نمودند. همچنین در مطالعه دیگری از برگ‌های زیتون برای سنتز نانو ذرات نقره استفاده نمودند (۱۳). در این پژوهش تجربی نیز، نانو ذرات نقره با استفاده از کورکومین خالص تهیه شد. کورکومین ترکیب فنولی است که توانایی احیا یون‌های نقره به نانو ذرات نقره را دارد. همچنین کورکومین به عنوان عامل پوشش دهنده و پایدار کننده نانو ذرات نقره عمل نیز می‌کند. سپس اثرات نانو ذرات نقره تولید شده با روش سیز بر القای آپوپتوzیس در سلول‌های سرطانی رده A2780 مورد بررسی قرار گرفت. نتایج حاصل از بررسی سمیت سلولی نشان داد که این نانو ذرات می‌توانند به صورت وابسته به غلظت، منجر به کاهش زیست پذیری سلول‌ها شوند. با محاسبه IC₅₀ مشخص شد که غلظت ۸ میکروگرم بر میلی لیتر در ۲۴ ساعت منجر به مرگ ۵۰ درصد از سلول‌ها شده است. در این زمینه بهارآرا و همکاران (۱۴) نانو ذرات نقره را با استفاده از عصاره گیاه بومادران زرد تولید نمودند و سپس اثرات سمی آن بر رده سلولی سرطانی MCF-7 مورد بررسی قرار دادند. نتایج مطالعات این گروه نشان داد که نانو ذرات نقره با پوشش گیاهی قادر به مهار تکثیر سلولی سرطانی سینه به صورت وابسته به دوز بودند. IC₅₀ گزارش شده توسط این گروه برابر با ۲۰ میکروگرم بر میلی لیتر در ۲۴ ساعت بود که این عدد از IC₅₀ (۸ میکروگرم بر میلی لیتر) قابل اشاره شد، کورکومین بر سطح نانو ذرات می‌تواند به عنوان اثر گذاری نانو ذرات باشد. همان‌طور که قبل اشاره شد، کورکومین دارای اثرات ضد سرطانی قوی می‌باشد و قرار گیری آن بر سطح نانو ذرات می‌تواند علت افزایش اثر گذاری آن‌ها قلمداد شود. این فرضیه نیاز به بررسی‌های بیشتر دارد. با توجه به این موضوع که آپوپتوzیس یا مرگ برنامه ریزی شده سلولی روند مهمی در جهت کنترل تکثیر سلول‌ها، حفظ هوموستاز طبیعی

حالی که بیان ژن آنتی آپوپتوزیس Bcl-2 کاهش یافت. در تحقیقی مشابه نیز نشان داده شد که نانو ذرات نقره سنتز شده با روش سبز منجر به مهار ژن‌های Bcl-2 و افزایش بیان ژن Bax می‌شود (۶). این نتایج همسو با یافته‌های پژوهش حاضر می‌باشد.

نتیجه گیری

نتایج حاصل از این تحقیق نشان داد که نانوذرات نقره پوشش دار شده با کورکومین منجر به مهار تکثیر و القای آپوپتوزیس از مسیر وابسته به کاسپاز در سلول‌های A2780 می‌شود.

تشکر و قدردانی

از همکاران مرکز تحقیقات بیولوژی کاربردی - تکوین جانوری دانشگاه آزاد اسلامی واحد مشهد، صمیمانه سپاسگزاری می‌شود.

اثرات نانو ذرات نقره در القای آپوپتوزیس در رده سلول‌های T-47D و MCF-7 را بررسی و گزارش نمودند که نانو ذرات نقره منجر به افزایش تراکم هسته و شکست کروموزومی در هسته‌های سلول‌های تیماری می‌شوند. Jeyaraj و همکاران (۴) اثرات نانو ذرات نقره سنتز شده با واسطه عصاره گیاه *Podophyllum hexandrum* را بر روند آپوپتوزیس در سلول‌های سرطانی دهانه رحم بررسی نمودند و نتایج تحقیقات این گروه نشان داد که این نانو ذرات منجر به القای مرگ سلولی در سلول‌های مذکور به صورت وابسته به کاسپاز می‌شوند. این یافته‌ها با نتایج تحقیق حاضر همسو می‌باشد. همچنان در این مطالعه جهت بررسی مسیر مولکولی وابسته به مرگ سلولی تغییرات بیان ژن‌های آپوپتوزیس Bax و Bcl-2 مورد بررسی قرار گرفت. نتایج نشان داد که بیان ژن پرو آپوپتوزیس Bax در سلول‌های تیماری افزایش یافت. در

منابع

1. Baharara J, Hosseini N, Farzin TR. Extremely low frequency electromagnetic field sensitizes cisplatin-resistant human ovarian adenocarcinoma cells via P53 activation. *Cytotechnology*; 2015; 68(4):1403-13.
2. Castiglioni S, Caspani C, Cazzaniga A, Maier JA. Short- and long-term effects of silver nanoparticles on human microvascular endothelial cells. *World journal of biological chemistry*. 2014; 5(4): 457-64.
3. Satapathy S, Mohapatra P, Preet R, Das D, et al. Silver-based nanoparticles induce apoptosis in human colon cancer cells mediated through p53. *Nanomedicine*. 2013; 8(8): 1307-22.
4. Jeyaraj M, Sathishkumar G, Sivanandhan G, MubarakAli D, et al. Biogenic silver nanoparticles for cancer treatment: an experimental report. *Colloids and surfaces B, Biointerfaces*. 2013; 106: 86-92.
5. Khalil MMH, Ismail EH, El-Magdoub F. Biosynthesis of Au nanoparticles using olive leaf extract. *Arabian Journal of Chemistry*. 2012; 5(4): 431-7.
6. Baharara J, Namvar F, Ramezani T, Mousavi M, et al. Silver nanoparticles biosynthesized using Achillea biebersteinii flower extract: apoptosis induction in MCF-7 cells via caspase activation and regulation of Bax and Bcl-2 gene expression. *Molecules* (Basel, Switzerland). 2015; 20(2): 2693-706.
7. Medda S, Hajra A, Dey U, Bose P, et al. Biosynthesis of silver nanoparticles from Aloe vera leaf extract and antifungal activity against Rhizopus sp. and Aspergillus sp. *Applied Nanoscience* [Internet]. Springer Berlin Heidelberg; 2015; 5(7): 875-80.
8. Sathish M, Kumar M, Sneh K, Won S, et al. Cinnamon zeylanicum bark extract and powder mediated green synthesis of nano-crystalline silver particles and its bactericidal activity. *Colloids and Surfaces B: Biointerfaces*. 2009; 37: 332-8.
9. Reddy NJ, Nagoor Vali D, Rani M RS. Unbound MEDLINE□: Evaluation of antioxidant, antibacterial and cytotoxic effects of green synthesized silver nanoparticles by Piper longum frui. *Materials science & engineering. C, Materials for biological applications*. 2014; 34:115-22.
10. Yanyan L, Zhang T. Targeting cancer stem cells by curcumin and clinical applications. *Cancer letters* [Internet]. Elsevier Ireland Ltd; 2014; 346(2): 197-205.
11. Baharara J, Namvar F, Ramezani T, Hosseini N, et al. Green Synthesis of Silver Nanoparticles using Achillea biebersteinii Flower Extract and Its Anti-Angiogenic Properties in the Rat Aortic Ring Model. *Molecules* (Basel, Switzerland). 2014 Jan; 19(4): 4624-34.
12. Baharara J, Namvar F, Mousavi M, Ramezani T, et al. Anti-Angiogenesis Effect of Biogenic Silver Nanoparticles Synthesized Using Salvia officinalis on Chick Chorioalantoic Membrane (CAM). *Molecules*. 2014; 19: 13499-508.
13. Khalil MMH, Ismail EH, El-Baghdady KZ, Mohamed D. Green synthesis of silver nanoparticles using olive leaf extract and its antibacterial activity. *Arabian Journal of Chemistry*. 2014; 7(6): 1131-9.
14. Vaskivuo TE, Stenbäck F, Tapanainen JS. Apoptosis and apoptosis-related factors Bcl-2, Bax, tumor necrosis factor- α , and NF- κ B in human endometrial hyperplasia and carcinoma. *Cancer* [Internet]. Wiley Subscription Services, Inc., A Wiley Company; 2002; 95(7): 1463-71.
15. Govender R, Phulukdaree A, Gengan RM, Anand K, et al. Silver nanoparticles of Albizia adianthifolia: the induction of apoptosis in human lung carcinoma cell line. *Journal of nanobiotechnology*. 2013; 11(1): 5-17.
16. Hekmat A, Saboury AA, Divsalar A. The Effects of Silver Nanoparticles and Doxorubicin Combination on DNA Structure and Its Antiproliferative Effect Against T47D and MCF7 Cell Lines. *Journal of Biomedical Nanotechnology* [Internet]. American Scientific Publishers; 2012; 8(6): 968-82.

Anti-cancerous effects of silver nanoparticles coated with curcumin on A2780 ovarian cancerous cells

Ramezani T, Ph.D. Student.^{1*}, Nabiuni M¹, Ph.D.², Baharar J, Ph.D.³, Parivar K, Ph.D.², Namvar F, Ph.D.³

1. Ph.D. Student in Animal Developmental Biology, Department of Animal Biology, Kharazmi University, Tehran, Iran

2. Developmental Biology, Department of Animal Biology, Kharazmi University, Tehran, Iran

3. Developmental Biology, Research Center for Animal Development Applied Biology, Mashhad, Branch, Islamic Azad University, Mashhad, Iran

* Email corresponding author: tayeberamezani@gmail.com
ehsanpou@sci.ui.ac.ir

Received: 28 Jun. 2016

Accepted: 5 Mar. 2017

Abstract

Aim: In this study, the effects of curcumin- coated silver nanoparticles were examined on induction of apoptosis in ovarian cancer A2780 cell.

Material and Methods: Silver nanoparticles coated with curcumin were biosynthesized, then A2780 cells were treated with different concentration of silver nanoparticles. Cytotoxicity effects of silver nanoparticles in A2780 cells were assessed by MTT assay and apoptotic effects of these nanoparticles were examined using DAPI and acridine orange/ propidium iodide staining and caspase 3/9 activation assay. Changes in Bax and Bcl-2 gene expression were analyzed by Real Time PCR.

Results: Findings showed that silver nanoparticles inhibit A2780 cells proliferation in a dose dependent manner. 8 µg/ml 50% decreased cell viability at 24 hours, DAPI and, acridine orange propidium iodide staining represent that percentage of apoptotic cells in the treated groups was increased. The results of Real Time PCR showed that Bax gene expression in cells treated with silver nanoparticles increased, while Bcl-2 gene expression in the treated cells was decreased.

Conclusion: Silver nanoparticles coated with curcumin induce apoptosis in A2780 cancer cells. The use of the nanoparticles should be considered a promising strategy for the treatment of ovarian cancer.

Key Words: Silver Nanoparticles, Cancer, Apoptosis, Curcumin